



УДК 577.115:579.84:543.429.23

## УСТАНОВЛЕНИЕ СТРУКТУРЫ ЛИПИДА А ИЗ МОРСКОЙ ГРАМОТРИЦАТЕЛЬНОЙ БАКТЕРИИ *Pseudoalteromonas haloplanktis* ATCC 14393<sup>T</sup>

© 2004 г. И. Н. Красикова<sup>#</sup>, Н. В. Капустина, В. В. Исаков,  
Н. М. Горшкова, Т. Ф. Соловьева

Тихоокеанский институт биоорганической химии ДВО РАН,  
690022, Владивосток, просп. 100-летия Владивостока, 159

Поступила в редакцию 21.07.2003 г. Принята к печати 07.10.2003 г.

С помощью химических методов анализа и спектроскопии ЯМР определена химическая структура липида А, полученного гидролизом липополисахарида из морской γ-протеобактерии *Pseudoalteromonas haloplanktis* ATCC 14393<sup>T</sup> уксусной кислотой. Показано, что изучаемый липид А является β-1,6-связанным дисахаридом глюкозамина, замещенным двумя остатками фосфорной кислоты (в положениях C1 и C4'), двумя остатками (*R*)-3-гидроксиалкановых (нормальных и разветвленных) кислот со сложноэфирным типом связи (в положениях C3 и C3'), одним остатком (*R*)-3-гидроксидодекановой и одним остатком (*R*)-3-додеcanoилоксидодекановой кислот (оба с амидным типом связи).

**Ключевые слова:** морские грамотрицательные бактерии, *Pseudoalteromonas haloplanktis*, ЛПС, липид А, ЯМР-спектроскопия <sup>1</sup>H, <sup>31</sup>P, <sup>13</sup>C.

### ВВЕДЕНИЕ

Грамотрицательные бактерии наряду с классическими мембранными липидами, построенными на основе глицерина, содержат необычный гликофосфолипид, называемый липидом А. Выполненная функцию липидного якоря липополисахарида (ЛПС), *O*-антитела и эндотоксина протеобактерий [1], он является составной частью клеточной стенки и важен для поддержания нормальной физиологии и роста микроорганизмов [2]. Многие патофизиологические проявления грамотрицательных инфекций, в том числе эндотоксемия и бактериальный шок, ассоциированы с уникальными, так называемыми эндотоксическими свойствами липида А [3]. Поэтому в настоящее время проводится интенсивный поиск потенциальных антагонистов эндотоксина на его основе [4].

Наиболее распространенным структурным вариантом липида А является молекула, построенная на основе β-1,6-D-глюкозаминил-D-глюкозамина [5]. Дисахарид несет α-гликозидную (положение 1) и негликозидную (положение 4') фосфорильные группы и ацилирован сложноэфирно- (положения 3 и 3') и амидносвязанными (положения 2 и 2') (*R*)-3-гидрокси- и (*R*)-3-ацилоксиалкановыми кислотами. По количеству остатков жирных кислот в молекуле липида А различают пента-, гекса-

гептацильный структурные типы. Все эндотоксически активные молекулы липида А имеют гексаацильный тип структуры и два остатка фосфорной кислоты [6]. С другой стороны, согласно данным, доступным к настоящему времени, структурные варианты липида А, проявляющие высокий антагонизм по отношению к эндотоксинам, имеют дисахаридную основу, одну или две фосфатных группы и низкую степень ацилирования [7].

Известно, что тип ацилирования липида А, играющий важную роль в связывании бактерий с клетками организма хозяина и последующей активации последних [3], в большой степени зависит от условий роста [8, 9]. Мы предположили, что морские бактерии, чья среда обитания (преимущественно низкая температура, высокое давление, повышенное содержание неорганических солей [10]) по большей части сильно отличается от таковой для наземных бактерий, могут стать источником интересных с фармакологической точки зрения структурных вариантов липида А. Действительно, анализ общего химического состава липидов А из 13 видов морских бактерий, принадлежащих к шести родам и трем семействам, показал, что они имеют ряд особенностей, таких, как высокая степень гетерогенности по составу жирных кислот, низкая степень ацилирования и фосфорилирования, слабо выраженная токсичность, отличающих их от липидов А наземных бактерий [11]. Это обстоятельство делает пер-

Сокращения: ЛПС – липополисахарид; ТЕА – триэтиламин.

<sup>#</sup>Автор для переписки (тел.: (4232) 31-07-19; факс: (4232) 314050; эл. почта: innakras@piboc.dvo.ru).

**Таблица 1.** Состав липида А из *P. haloplanktis* ATCC 14393<sup>T</sup>

Компонент	% на $\Sigma$ ЖК*	г-моль**	г-моль/2 ост. GlcN**
	I		
10 : 0	0.6	0.0401	0.21
11 : 0	1.7	0.0137	0.07
12 : 0	10.2	0.1163	0.32
3-ОН-10 : 0	9.7	0.0607	0.62
3-ОН-11 : 0	19.7	0.0889	0.47
3-ОН-12 : 0	27.4	0.2210	1.18
3-ОН-изо-11 : 0	4.8	0.0162	0.09
3-ОН-изо-12 : 0	15.5	0.0612	0.33
E-2-10 : 1	—	0.0406	0.22
E-2-11 : 1	—	0.0701	0.37
E-2-12 : 1	2.2	0.1821	0.97
E-2-изо-12 : 1	—	0.0359	0.19
$\Sigma$ норм. ЖК	12.5	0.1701	0.90
$\Sigma$ 3-ОН-ЖК	79.3	0.7767	4.14
P	—	0.3194	1.7
GlcN	—	0.3758	2.0

\* Расщепление 4 н. NaOH, 100°C, 4 ч.

\*\* Гидролиз 6 н. HCl, 100°C, 24 ч.

спективным установление детальной структуры липида А из морских бактерий.

В рамках настоящего исследования проведено изучение структуры липида А из бактерий *Pseudoalteromonas haloplanktis* ATCC 14393<sup>T</sup>, типового штамма вида *P. haloplanktis* [12]. *P. haloplanktis* (бывшая *Alteromonas haloplanktis* [13]) является аэробной, гетеротрофной, грамотрицательной бактерией [14]. Она относится к широко распространенным облигатно морским микроорганизмам, которые легко выделяются как из прибрежных вод, так и из вод открытого океана и требуют присутствия морской воды в среде роста [15].

## РЕЗУЛЬТАТЫ И ОБСУЖДЕНИЕ

Липид А из *P. haloplanktis* ATCC 14393<sup>T</sup> (далее липид А *P. h.*), полученный гидролизом ЛПС 1% AcOH, по данным ТСХ, представляет собой довольно сложную смесь гомологов с разной степенью фосфорилирования и ацилирования. Отсутствие цветной реакции при обработке липида А нингидрином свидетельствует о том, что он не содержит свободных аминогрупп. Гель-фильтрацией на колонке с сефадексом LH-20 и последующей колоночной хроматографией на силикагеле с выходом 36% была получена гомогенная, по

данным ТСХ, фракция, аналитические данные которой представлены в табл. 1.

Согласно данным химического анализа, липид А *P. h.* содержит глюказамин, фосфор и жирные кислоты, основными из которых являются додекановая (12 : 0), 3-гидроксиундекановая (3-ОН-11:0) и 3-гидроксидодекановая (3-ОН-12:0). Наряду с вышеупомянутыми, в его составе обнаружены также 3-гидроксидекановая (3-ОН-10:0) и 3-гидрокситридекановая (3-ОН-13:0), а также 3-гидроксиалкановые кислоты изо-серии (3-ОН-изо-11:0 и 3-ОН-изо-12:0), на долю которых приходится до 20% общего количества жирных кислот (табл. 1). Величина угла вращения суммарной фракции 3-гидроксиалкановых кислот ( $[\alpha]_D = -11.99^\circ$  (0.4%, CHCl<sub>3</sub>)) свидетельствует о R-конфигурации их оптически активных атомов.

Интересно, что щелочной гидролизат липида А *P. h.* не содержит (E)-2-ненасыщенных жирных кислот, которые часто обнаруживаются в гидролизатах образцов липида А, имеющих в своем составе 3-ацилоксиалкановые кислоты со сложно-эфирным типом связи [16]. Это косвенно указывает на отсутствие подобных производных в изучаемом липиде А.

Определение молярного соотношения основных компонентов, входящих в состав липида А из *P. haloplanktis* ATCC 14393<sup>T</sup>, показало, что он представляет собой дисахарид глюказамина, ацилированный пятью остатками жирных кислот и имеющий две фосфатные группы (табл. 1). Общий вид <sup>13</sup>C- и <sup>31</sup>P-ЯМР-спектров изучаемого липида А (рис. 1а, б) хорошо согласуется с подобным заключением.

Как следует из данных, представленных в табл. 2а, аномерный атом невосстановляющего остатка глюказамина липида А имеет β-конфигурацию (100.84 м.д.), C1-центр восстановляющего остатка имеет α-ориентацию (94.87 м.д.) и несет остаток фосфорной кислоты ( $J_{C1, P}$  4.6 Гц). На присутствие фосфатной группы при C1-атоме указывает и величина хим. сдвига одного из сигналов в спектре <sup>31</sup>P-ЯМР изучаемого липида А (-1.39 м.д., рис. 1б). Величина хим. сдвига второго сигнала в фосфорном спектре свидетельствует о том, что соответствующий ему остаток фосфорной кислоты находится при вторичной гидроксильной группе глюказаминоибозы.

Анализ области спектра, где резонируют C2-атомы глюказамина, подтверждает выводы о дисахаридной природе изучаемого соединения (два сигнала с величинами хим. сдвигов 54.04 и 51.90 м.д.), о α- и β-конфигурациях аномерных атомов восстановляющего и невосстановляющего остатков глюказамина соответственно и о присутствии фосфатной группы при C1-атоме ( $J_{C2, P}$  8.4 Гц). Сдвиг в сильное поле сигналов обоих C2-атомов в сравнении с сигналами C2-атомов в 6-дифе-

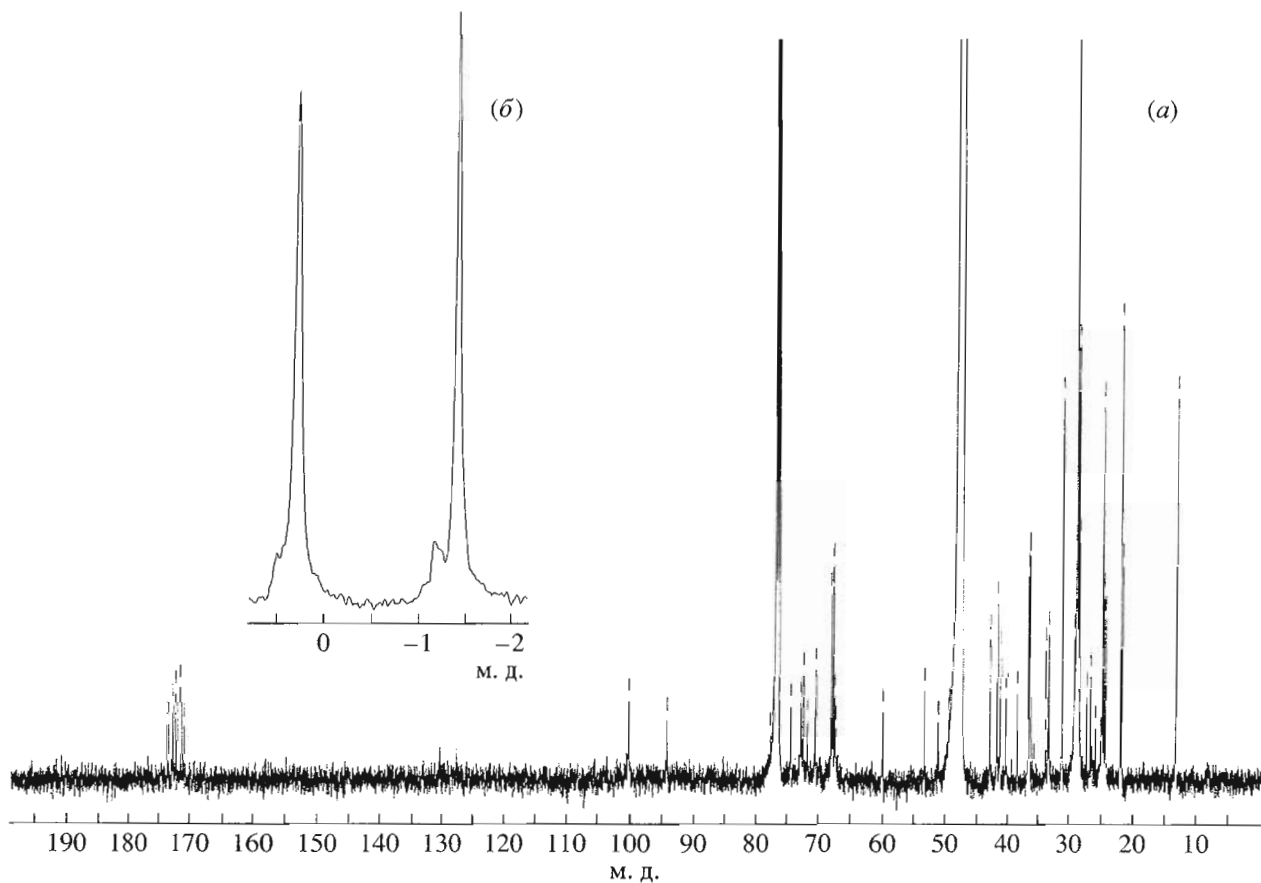


Рис. 1.  $^{13}\text{C}$ - (а) и  $^{31}\text{P}$ - (б) ЯМР-спектры липида А из *P. haloplanktis* ATCC 14393<sup>T</sup>.

нилфосфате метил-(2-дезокси-2-[*(R, S)*-3-гидрокситетрадеканоиламино]- $\beta$ -D-глюкопиранозил)-(1 → 6)-2-(2-дезокси-2-[*(R, S)*-3-гидрокситетрадеканоиламино]- $\alpha$ -D-глюкопиранозида) (56.6 и 53.9 м.д. соответственно) [17] позволяет сделать заключение, что гидроксильные группы при C3-атомах обоих остатков глюкозамина замещены [18].

Резонансная область C6-атомов остатков глюкозамина представлена одним сигналом (60.58 м.д.), что предполагает участие одного из C6-атомов в образовании гликозидной связи. Действительно, как показали DEPT-135-эксперименты (данные не приводятся), сигнал второго C6-атома смешен в область 68.17 м.д., демонстрируя  $\beta$ -1,6-связь в липиде А *P. h.*

Наиболее сложной частью спектра  $^{13}\text{C}$ -ЯМР изучаемого липида А оказалась область резонанса атомов C3, C4, C5 глюкозамина (68–75 м.д.), насчитывающая 11 сигналов. Усложнение этой части спектра произошло за счет того, что кроме сигналов вышеперечисленных углеродных атомов в ней присутствуют сигнал одного из C6-атомов глюкозамина, о котором говорилось выше, а также сигналы C3-атомов 3-гидрокси- (~69 м.д.) и 3-ацилоксиалкановых (71–73 м.д.) кислот [19, 20].

Поэтому анализ этой части спектра мы начали с отнесения сигналов, принадлежащих жирным кислотам.

Область резонанса карбонильных атомов углерода представлена пятью сигналами равной интенсивности (рис. 1а, табл. 2б), что хорошо согласуется с данными химического анализа (табл. 1), в соответствии с которыми изучаемый липид А имеет пентаацильный тип структуры. Четыре сигнала в области резонанса атомов C2 (41–44 м.д. [19, 20]) 3-гидроксиалкановых кислот указывают на присутствие в молекуле липида А четырех остатков упомянутых кислот. В то же время области резонанса атомов C3 (~68 м.д.) и C4 (~37 м.д.) 3-гидроксиалкановых кислот представлены только тремя сигналами. Это позволяет предполагать, что гидроксильная группа одного из таких остатков имеет ацильный заместитель. Присутствие в спектре сигналов с величиной хим. сдвига 71 и 34 м.д. (C3- и C4-атомы амидно связанных 3-ацилоксиалкановых кислот [19, 20]) хорошо согласуется с этим предположением.

Амидный тип связи 3-ацилоксиалкановой кислоты с остатком глюкозамина был также подтвержден при анализе области резонанса C2-атомов 3-гид-

**Таблица 2.** Данные  $^{13}\text{C}$ -ЯМР-спектроскопии липида А из *P. haloplanktis* ATCC 14393<sup>T</sup> ( $\delta$ , м. д.)  
a)

Остаток	C1	C2	C3	C4	C5	C6
$\beta\text{-GlcN}_p$ -(1 →	100.84	54.04	73.75	72.00	75.11	60.58
$\alpha\text{-GlcN}$ -(1 → P	94.87	51.90	73.33	67.95	73.23	68.12

б)

Жирные кислоты	Неразветвленные кислоты									Кислоты изо-ряда	
	C1	C2	C3	C4	C3, C5*	$-\text{CH}_2-$	$\omega_3$	$\omega_2$	$\omega_1$	$\omega_4$	$-\text{CH}_3$
3-OH	43.77	68.72	37.59								
	175.22	42.57	68.46	37.40	25.16						
	174.34	42.09	68.34	37.33	24.91	28.97–	32.14	22.88	14.08	39.30	21.77
3-Oac	173.84		71.13		24.86	28.92					
	173.15	41.15	73.06	34.73**	24.69						
Нормальные	172.78	34.26**	–	–	24.41					–	–

\* В этой колонке указаны сигналы C3- и C5-атомов нормальных и 3-гидроксиалкановых кислот соответственно.

\*\* Отнесение сигналов для этих C-атомов может быть изменено на противоположное.

рокси(ацилокси)-алкановых кислот. Известно, что C2-атомы амидносвязанных 3-гидроксикислот имеют величину хим. сдвига около 44 м.д., в то время как аналогичные атомы 3-гидроксиалкановых кислот со сложноэфирным типом связи резонируют в более сильном поле (42 м.д.) [19, 20]. Замещение гидроксильной группы при C3-атоме кислоты смешает сигнал атома C2 в сильное поле на 2–3 м.д. (41 и 39 м.д. для C2-атомов амидно- и сложноэфирносвязанных 3-ацилоксиалкановых кислот соответственно [19, 20]). В спектре липида А *P. h.* присутствует один сигнал при 44 м.д. (C2-атом 3-гидроксиалкановой кислоты с амидным типом связи), два – при 42 м.д. (C2 атомы 3-гидроксиалкановых кислот со сложноэфирным типом связи), один – при 41 м.д. (C2-атом 3-ацилоксиалкановой кислоты с амидным типом связи) (табл. 2б).

Интересно, что в спектре липида А *P. h.* наблюдается сигнал с величиной хим. сдвига 73.06 м.д. Согласно данным, приведенным в работе [21], такой сигнал является характеристическим для гидроксикислот, которые в  $\alpha$ -положении к гидроксильной группе имеют двойную связь в *транс*-конфигурации. В спектре липида А *P. h.* есть сигналы C-атомов при двойной связи (128–132 м.д., рис. 1а). Однако ни в щелочном, ни в кислотном гидролизатах изучаемого липида А непредельная жирная кислота не была обнаружена. В настоящее время проводятся эксперименты по ее идентификации.

Чтобы определить, какая кислота ацилирует гидроксильную группу амидносвязанной 3-ацилоксикислоты, липид А *P. h.* был подвергнут мягкой щелочной обработке, которая избирательно удаляет жирные кислоты со сложноэфирным типом

связи [22]. Присутствие в гидролизате кислот 3-OH-11:0 (42.6%), 3-OH-10:0 (18.6%), 3-OH-12:0 (16.2%), 3-OH-изо-12:0 (13.5%) и небольшого количества 3-OH-изо-11:0 (6.5%) указывает на то, что они ацилируют гидроксильные группы глюкозамина. При последующей более жесткой обработке (6 М NaOH, 4 ч, 100°C) в гидролизате липида А кроме выше перечисленных жирных кислот была обнаружена кислота 12:0 (20.8% от общего количества сложноэфирно- и амидносвязанных жирных кислот). Одновременно наблюдалось значительное увеличение (до 31.1% от суммы кислот с разным типом связи) количества кислоты 3-OH-12:0. Эти данные свидетельствуют о том, что изучаемый липид А содержит 3-додеcanoилоксидодекановую кислоту с амидным типом связи.

Следует сказать, что в спектре липида А *P. h.* присутствует сигнал при 39.30 м.д., который теоретически может принадлежать C2-атому 3-ацилоксикислоты со сложноэфирным типом связи [19]. В действительности он не может быть сигналом такого C2-атома, так как это предполагает присутствие в изучаемом липиде А двух остатков 3-ацилоксиалкановых кислот. В этом случае область резонанса C3- и C4-атомов 3-гидроксикислот (69 и 37 м.д. соответственно) должна быть представлена двумя сигналами, чего в реальном спектре липида А *P. h.* не наблюдается. С другой стороны, следует иметь в виду, что изучаемый липид А содержит жирные кислоты изо-серии (табл. 1), характерной особенностью  $^{13}\text{C}$ -ЯМР-спектров которых являются сигналы с величиной хим. сдвига ~39 (ω4-атом) и ~22 (C-атомы двух концевых метильных

групп) м.д. [23]. Присутствие в спектре липида А наряду с сигналом 39.30 м.д. сигнала при 21.77 м.д. (рис. 1, табл. 2б) надежно доказывает, с одной стороны, наличие в изучаемом липиде А кислот изо-серии, с другой – отсутствие 3-ацилоксикислоты со сложноэфирным типом связи.

Отнесение сигналов спектра  $^{13}\text{C}$ -ЯМР в области резонанса атомов C3, C4 и C5 глюкозамина было сделано на основании литературных данных [24], принимая во внимание, что липид А *P. h.* содержит две фосфатные группы, одна из которых замещает вторичную гидроксильную группу глюкозаминобиозы. Учитывая, что присутствие фосфатной группы изменяет величину химического сдвига C-атома, при котором она находится, и соседних с ним атомов и вызывает уширение соответствующих сигналов [24], мы пришли к заключению, что сигналы с величинами хим. сдвигов 72.44 ( $J_{\text{C}3',\text{P}}$  4.6 Гц), и 75.11 м.д. ( $J_{\text{C}5',\text{P}}$  2.3 Гц) принадлежат C3'- и C5'-атомам соответственно, а остаток фосфорной кислоты находится при C4'-атоме (73.17 м.д., табл. 2а). Более узкие сигналы при 73.33, 71.19 и 67.95 м.д. были отнесены к атомам C3, C5 и C4 восстановливающего остатка дисахарида, который имеет незамещенную гидроксильную группу при C4-атоме.

Подтверждение высказанным выше предположениям о структуре липида А *P. h.* было получено с помощью  $^1\text{H}$ -ЯМР-спектроскопии. Сигнал  $^1\text{H}$  при 5.55 м.д., который проявляется как типичный двойной дублет (дублет дублетов), был отнесен к аномерному протону восстановливающего остатка, имеющего  $\alpha$ -ориентацию ( $J_{\text{H}_1,\text{H}_2}$  3.04 Гц) и несущего фосфатную группу ( $J_{\text{H}_1,\text{P}}$  6.5 Гц). Дублетный сигнал в области 4.75 м.д. был отнесен к H1' невосстановливающего остатка глюкозаминобиозы. Константа расщепления между H1' и H2' (7.9 Гц) подтверждает ранее высказанное предположение о  $\beta$ -конфигурации гликозидной связи между остатками глюкозамина. Используя  $^1\text{H}$ - $^1\text{H}$ -COSY-спектроскопию и величины хим. сдвигов аномерных протонов при 5.55 и 4.75 м.д. как точку отсчета, были сделаны отнесения сигналов избранных протонов обоих остатков глюкозамина (табл. 3).

Хим. сдвиги атомов H2, H2', H3, H3' и H4' доказывают, что обе аминогруппы, а также гидроксильные группы при C3, C3' и C4' имеют замещение. Напротив, хим. сдвиг метинового протона H4 (3.57 м.д., табл. 3) предполагает, что гидроксильная группа при C4-атоме не замещена.

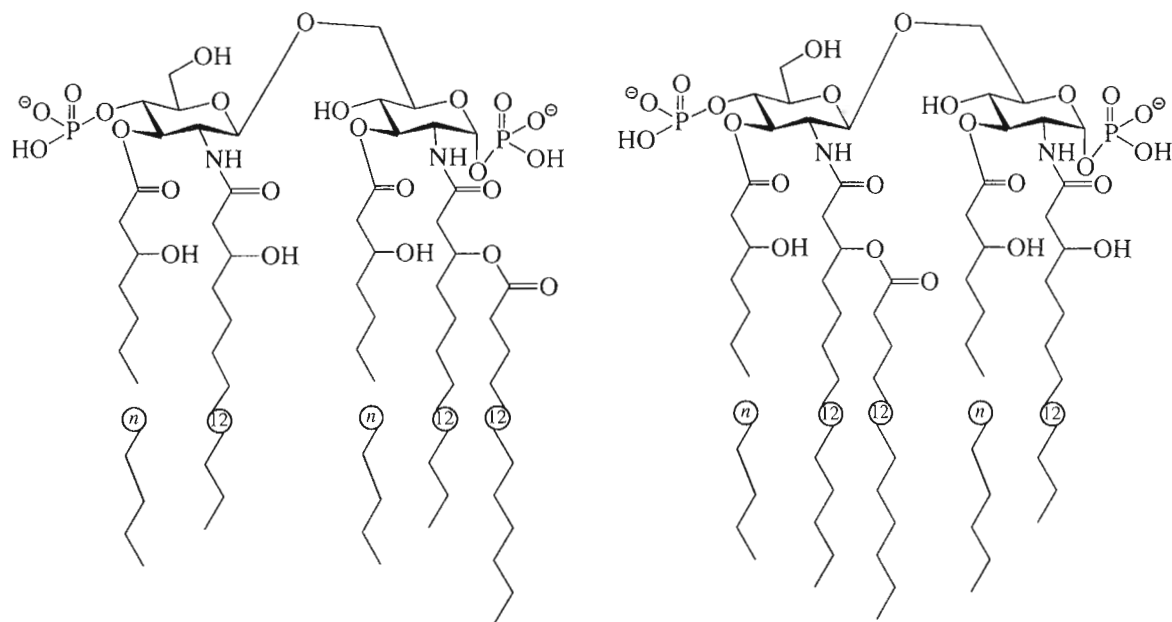
На основании полученных данных был сделан вывод, что липид А *P. h.* является  $\beta$ -1,6-связанным дисахаридом D-глюкозамина, замещенным двумя остатками фосфорной кислоты (в положениях C1 и C4'), двумя остатками (R)-3-гидроксиалкановых (нормальных и разветвленных) кислот со сложноэфирным типом связи (при C3- и

**Таблица 3.** Отнесение сигналов избранных протонов в  $^1\text{H}$ - $^1\text{H}$ -COSY-ЯМР-спектре остатков глюкозамина липида А из *P. haloplanktis* ATCC 14393<sup>T</sup>

Протон	$\delta$ , м. д.	Протон	$\delta$ , м. д.
H1	5.55	H1'	4.75
H2	4.18	H2'	3.85
H3	5.17	H3'	5.23
H4	3.57	H4'	4.05

C3'-положениях), одним остатком (R)-3-гидроксиодекановой и одним остатком (R)-3-додецилолексидодекановой кислот (оба с амидным типом связи). Принимая во внимание эту информацию, мы предложили два возможных варианта структуры изучаемого липида А (рис. 2), окончательный выбор между которыми будет сделан после дополнительных исследований.

Недавно была опубликована структура липоолигосахарида из дикого штамма бактерий *P. haloplanktis* TAC 125, концевой фрагмент которого представляет собой липид А [25, 26]. Согласно данным, приведенным в этих работах, липид А этого штамма также представляет собой  $\beta$ -1,6-связанный дисахарид D-глюкозамина, замещенный двумя остатками фосфорной кислоты (в положениях C1 и C4') и пятью остатками жирных кислот, т.е. аналогичен выделенному нами веществу. Однако присутствующая в нем 3-додецилолексидодекановая кислота соединена с дисахаридным оставом не амидной, а сложноэфирной (при C3') связью. Интересно также, что липид А из *P. haloplanktis* TAC 125, в отличие от липида А изучаемого штамма ATCC 14393<sup>T</sup>, характеризующегося высокой степенью гетерогенности по составу 3-гидроксиалкановых кислот (табл. 1, колонка 1), содержит только одну 3-гидроксиалкановую кислоту, 3-OH-12:0. Еще одна особенность бактерий штамма *P. haloplanktis* TAC 125, отличающая их от бактерий типового штамма *P. haloplanktis* ATCC 14393<sup>T</sup>, то, что липид А является составной частью липоолигосахарида, а не ЛПС, который в клетках дикого штамма не синтезируется [26]. Столь существенные различия в составе и структуре липида А и ЛПС бактерий одного вида могут объясняться как штаммовыми различиями, так и различиями в условиях их культивирования. В нашем эксперименте рост *P. haloplanktis* ATCC 14393<sup>T</sup> проходил при комнатной температуре, тогда как культивирование *P. haloplanktis* TAC 125 осуществляли при температуре 15°C [26]. В настоящее время нами проводятся эксперименты, с помощью которых можно будет определить влияние температурного фактора на состав и структуру липида А из бактерий *P. haloplanktis* ATCC 14393<sup>T</sup>.



$n = 3\text{-ОН-}10:0, 3\text{-ОН-}11:0, 3\text{-ОН-}12:0, 3\text{-ОН-изо-}11:0, 3\text{-ОН-изо-}12:0$

Рис. 2. Предлагаемые варианты структуры липида А из *P. haloplanktis* ATCC 14393<sup>T</sup>.

## ЭКСПЕРИМЕНТАЛЬНАЯ ЧАСТЬ

**Культивирование бактерий и выделение ЛПС.** Бактерии *P. haloplanktis* ATCC 14393<sup>T</sup> выращивали при комнатной температуре и интенсивном встряхивании на жидкой питательной среде, содержащей (в г/л 50%-ной морской воды, pH 7.5–7.8): бактопептон (Difco) – 5; гидролизат казеина (Merck) – 2; экстракт дрожжей (Merck) – 2; глюкозу – 1; KH<sub>2</sub>PO<sub>4</sub> – 0.2; MgSO<sub>4</sub> – 0.05. Клетки собирали на поздней логарифмической фазе роста (18 ч), центрифугировали, последовательно промывали дистиллированной водой, ацетоном, этанолом, гексаном и дважды смесью хлороформ–метанол (2 : 1 по объему). Выход сухих обезжиренных клеток составил 1.25 г/л. ЛПС получали по методу Вестфала обработкой горячим водным фенолом [27]. Выход ЛПС после удаления нуклеиновых кислот осаждением холодной 40%-ной трихлоруксусной кислотой [28] составил 6.5 мг/г сухих клеток.

**Выделение липида А.** ЛПС (173 мг) гидролизовали 1% уксусной кислотой при 100°C в течение 3 ч. Образовавшийся осадок отделяли центрифугированием, растворяли в хлороформе, промывали дистиллированной водой (3 раза), сушили над безводным сульфатом натрия и осаждали 5-кратным объемом ацетона. Липид А (выход 0.18 мг/мг ЛПС) далее очищали гель-фильтрацией на сефадексе LH-20 с последующей колоночной хроматографией на силикагеле.

**Аналитические методы. Моносахаридный состав** липида А определяли методом ГЖХ-МС ацетатов полиолов, а также анализом недериватизированных аминосахаров на аминокислотном анализаторе LKB 4251 Alpha+ (Швеция) [29]. Липид А гидролизовали 6 н. HCl при 100°C в течение 24 ч, моносахариды восстанавливали боргидридом натрия и ацетилировали уксусным ангидридом в пиридине. Содержание фосфора, после сжигания липида А действием HClO<sub>4</sub>, определяли молибдатным методом [30].

**Жирные кислоты** получали щелочным гидролизом (6 н. NaOH, 100°C, 4 ч) липида А, после чего их обрабатывали эфирным раствором диазометана и идентифицировали полученные метиловые эфиры с помощью ГЖХ и ГЖХ-МС. В качестве внутреннего стандарта использовали пентадекановую кислоту, которую добавляли к липиду А до гидролиза. Чтобы определить, какие жирные кислоты имеют сложноэфирный тип связи, липид А подвергали мягкой щелочной обработке [21].

**Хроматография.** Гель-хроматографию проводили на колонке с сефадексом LH-20 (560 × 15 мм) в системе хлороформ–этанол (3 : 1); в качестве элюента для колоночной хроматографии на силикагеле использовали смеси хлороформ–метанол. ТСХ проводили на пластинах Сорб菲尔 (Сорбополимер, Россия) на алюминиевой подложке в системе хлороформ–метанол–вода–конц. NH<sub>4</sub>OH (100 : 62.5 : 10 : 5), с обнаружением пятен нагрева-

нием при 130°C в течение 10 мин после опрыскивания 20%-ной H<sub>2</sub>SO<sub>4</sub> в метаноле; свободные аминогруппы обнаруживали нингидрином. ГЖХ и ГЖХ-МС метиловых эфиров жирных кислот осуществляли на газовом хроматографе Agilent 6850 с капиллярной колонкой HP 1 (30 м × 0.32 мм × 0.25 мкм) и на приборе Hewlett-Packard 6890 с капиллярной колонкой HP 5 MS с 5%-ным фенилметилсилоксаном (30 м × 250 мкм × 0.25 мкм), соединенном с масс-спектрометром Hewlett-Packard 5973. Образцы вводили в режиме разделения потоков с коэффициентом 1 : 15 при температуре инжектора 250°C. Анализ проводили при температуре 125–210°C (5°C/мин); газ-носитель гелий. Спектры регистрировали в диапазоне 50–550 атомных единиц массы с частотой 2.94 скана в секунду.

**Определение R,S-конфигурации 3-гидроксиалкановых кислот.** Смесь жирных кислот (24 мг), полученных щелочным гидролизом (6 н. NaOH, 4 ч, 100°C) обезжиренных клеток *P. haloplanktis* ATCC 14393<sup>T</sup>, разделяли на колонке с силикагелем (гексан; гексан–эфир, 2 : 1; гексан–эфир–уксусная кислота, 1 : 1 : 0.1; гексан–эфир–уксусная кислота, 1 : 1 : 0.2; по объему). Угол вращения суммарной фракции 3-гидроксиалкановых кислот (4 мг) измеряли на спектрофотополяриметре Perkin-Elmer-141.

**ЯМР-спектры** записывали на приборе Bruker Avance DRX-500. Липид А (7 мг) растворяли в 0.6 мл смеси CDCl<sub>3</sub>–CD<sub>3</sub>OD (4 : 1). Образцы для ЯМР-анализа были подготовлены как описано в работе [31]: липид А (10 мг) растворяли в деионизованной дистиллированной воде (1.5 мл), добавляли 45 мкл 0.36 М триэтиламина на холоду, следя за тем, чтобы pH раствора был не больше 9. Нерастворимый остаток отделяли центрифугированием. Водный супернатант подкисляли 1 н. HCl, доводя концентрацию кислоты до 0.1 н. Получившийся осадок липида А отделяли центрифугированием, растворяли в хлороформе (чтобы раствор был прозрачным, добавляли несколько капель метанола). Хлороформный раствор три раза промывали деионизированной водой, после чего упаривали.

Работа выполнена при финансовой поддержке Российского фонда фундаментальных исследований (№ грантов 042-04-49466 и 03-04-06969 [МАЦ]), Программы фундаментальных исследований Президиума РАН “Физико-химическая биология”, ДВО РАН (№ грантов 03-3-А-05-081 и 03-3-Г-05-040).

## СПИСОК ЛИТЕРАТУРЫ

- Lugtenberg B., van Alphen L. // Biochim. Biophys. Acta. 1983. V. 737. P. 51–115.
- Galloway S.W., Raetz C.R.H. // J. Biol. Chem. 1990. V. 265. P. 6394–6402.
- Moran A.J. // Toxicol. Toxin Reiews. 1995. V. 14. P. 47–83.
- Opal S.I., Yu Jr., R.L. // Drugs. 1998. V. 55. P. 497–508.
- Wilkinson S.G. // Prog. Lipid Res. 1996. V. 35. P. 283–343.
- Rietschel E.Th., Brade H., Holst O., Brade L., Müller-Loennies S., Mamat U., Zahringer U., Beckmann F., Seydel U., Brandenburg K., Ulmer A.J., Mattern T., Heine H., Schletter J., Loppnow H., Schönbeck U., Flad H.-D., Hauschidt S., Schade F.U., Di Padova F., Kusumoto S., Schuman R.R. // Curr. Topics in Microbiol. Immunol. 1998. V. 216. P. 39–81.
- Kawata T., Bristol J.R., Rossignol D.P. // Br. J. Pharmacol. 1999. V. 27. P. 853–862.
- Carty S.M., Sreekumar K.R., Raetz C.R.H. // J. Biol. Chem. 1999. V. 274. P. 9677–9685.
- Красикова И.Н., Бахолдина С.И., Хотимченко С.В., Соловьева Т.Ф. // Биохимия. 1999. Т. 64. С. 404–411.
- Bartlett D.H., Welch T.J. // J. Bacteriol. 1995. V. 177. P. 1008–1016.
- Красикова И.Н., Капустина Н.В., Светашев В.И., Горшкова Р.П., Томич С.В., Назаренко Е.Л., Командрова Н.А., Иванова Е.П., Горшкова Н.М., Романенко Л.А., Михайлов В.А., Соловьева Т.Ф. // Биохимия. 2001. Т. 66. С. 1286–1294.
- Baumann L., Baumann P., Mandel M., Allen R.D. // J. Bacteriol. 1972. V. 3. P. 402–429.
- Gauthier G., Gauthier M., Christen R. // Int. J. System. Bacteriol. 1995. V. 45. P. 755–764.
- Baumann P., Gauthier M.J., Baumann L. // Bergey's Manual of Systematic Bacteriology / Eds Krieg N.B., Holt J.G. N.Y.: Williams & Wilkins Co., 1984. P. 343–352.
- Mullins T.D., Britschgi R.L., Krest R.L., Giovannoni S.J. // Limnol. Oceanogr. 1995. V. 40. P. 148–158.
- Wollenweber H.-W., Rietschel E.Th. // J. Microbiol. Meth. 1990. V. 11. P. 195–211.
- Горбач В.И., Иванчина Е.В., Исаков В.В., Лукьянов П.А., Соловьева Т.Ф., Оводов Ю.С. // Биоорган. химия. 1982. Т. 13. С. 1409–1415.
- Jennings H., Smith I.C. // Methods Enzymol. 1978. V. 50. P. 39–50.
- Tulloch A.P., Mazurek M. // Lipids. 1976. V. 11. P. 228–234.
- Baltzer L.H., Mattsby-Baltzer I. // Biochemistry. 1986. V. 25. P. 3570–3573.
- Frankel E.N., Garwood R.F., Khambay B.P.S., Moss G.P., Weedon B.C.L. // J. Chem. Soc. Perkin Trans. I. 1984. P. 2233–2244.
- Silipo A., Lanzetta R., Garozzo D., Lo Cantore P., Iacobellis N.S., Molinaro A., Parrilli M., Evidente A. // Eur. J. Biochem. 2002. V. 269. P. 2498–2505.
- Reyes E.D., Carballera N.M. // Synthesis. 1997. V. 10. P. 1195–1198.
- Горбач В.И., Исаков В.В., Кулеш Ю.Г., Лукьянов П.А., Соловьева Т.Ф., Оводов Ю.С. // Биоорган. химия. 1980. Т. 6. С. 81–86.
- Corsaro M.M., Piaz F.D., Lanzetta R., Parrilli M. // J. Mass Spectrom. 2002. V. 37. P. 481–488.

26. Corsaro M.M., Lanzetta R., Parrilli E., Parrilli M., Tutino M.L. // Eur. J. Biochem. 2001. V. 268. P. 5092–5097.
27. Вестфаль О., Янн К. // Методы химии углеводов / Ред. Кочетков Н.К. М.: Мир, 1967. С. 325–332.
28. Кульшин В.А., Яковлев А.П., Аваева С.Н., Дмитриев Б.А. // Мол. генет. микробиол. вирусология. 1987. Т. 5. С. 44–46.
29. Sawardeker J.S., Sloneker J.H., Jeanes A. // Anal. Chem. 1965. V. 37. P. 1602–1604.
30. Vaskovsky V.E., Kostetsky E.Y., Vasendin I.M. // J. Chromatog. 1975. V. 114. P. 129–141.
31. Zaehringer U., Salvetzky R., Lindner B., Ulmer A. // J. Endotoxin Res. 2001. V. 7. P. 133–146.

## Elucidation of Structure of Lipid A from the Marine Gram-Negative Bacterium *Pseudoalteromonas haloplanktis* ATCC 14393<sup>T</sup>

I. N. Krasikova<sup>#</sup>, N. V. Kapustina, V. V. Isakov,  
N. M. Gorshkova, and T. F. Solov'eva

<sup>#</sup>Phone: +7 (4232) 31-0719; fax: +7 (4232) 31-4050; e-mail: innakras@piboc.dvo.ru  
Pacific Institute of Bioorganic Chemistry, Far Eastern Division, Russian Academy of Sciences,  
pr. 100-letiya Vladivostoka 159, Vladivostok, 690022 Russia

The chemical structure of lipid A from the marine  $\gamma$ -proteobacterium *Pseudoalteromonas haloplanktis* ATCC 14393<sup>T</sup>, a main product of lipopolysaccharide hydrolysis (1% AcOH), was determined using chemical methods and NMR spectroscopy. The lipid A was shown to be  $\beta$ -1,6-glucosaminobiose 1,4'-diphosphate acylated with two (*R*)-3-hydroxyalkanoic acid residues at C3 and C3' and amidated with one (*R*)-3-hydroxydodecanoyl and one (*R*)-3-dodecanoyloxydodecanoyl residue at *N*2 and *N*2', respectively. The English version of the paper: *Russian Journal of Bioorganic Chemistry*, 2004, vol. 30, no. 4; see also <http://www.maik.ru>.

**Key words:**  $^1\text{H}$ ,  $^{31}\text{P}$ ,  $^{13}\text{C}$  NMR spectroscopy, lipid A, lipopolysaccharide, marine Gram-negative bacterium, *Pseudoalteromonas haloplanktis*